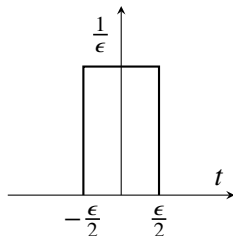


Descrição Matemática de Sistemas

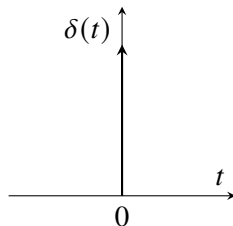
Prof. Marcelo G. Vanti

- Delta de Dirac ou Impulso Unitário

$$\delta(t) := \begin{cases} \delta(t) = 0 & \forall t \neq 0 \\ \int_{-\infty}^{\infty} \delta(t) dt = 1 \end{cases}$$



(a) Pulso retangular



(b) Impulso

Figura: O limite da sequencia de pulsos ($\epsilon \rightarrow 0$) é o impulso unitário

Introdução

- Propriedade da amostragem do Impulso Unitário
Multiplicando o impulso por uma função $\phi(t)$ contínua em $t = 0$ e lembrando que o impulso é nulo para $t \neq 0$,

$$\phi(t)\delta(t) = \phi(0)\delta(t),$$

e agora, integrando de $-\infty$ a ∞ ,

$$\int_{-\infty}^{\infty} \phi(t)\delta(t)dt = \phi(0) \int_{-\infty}^{\infty} \delta(t)dt = \phi(0).$$

- Interpretando como função generalizada, o Impulso é a derivada do degrau unitário

$$\int_{-\infty}^{\infty} \frac{du}{dt} \phi(t)dt = u(t)\phi(t) \Big|_{-\infty}^{\infty} - \int_{-\infty}^{\infty} u(t) \frac{d\phi(t)}{dt} dt = \phi(0),$$

ou seja, a derivada do degrau opera sobre $\phi(t)$ exatamente como $\delta(t)$.

$$\frac{du}{dt} = \delta(t)$$

- $g(t, t_0)$ é a resposta ao impulso aplicado no instante $t = t_0$.
- Se o sistema é invariante no tempo, então

$$g(t, t_0) = g(t + T, t_0 + T) = g(t - t_0)$$

- Se o sistema é linear, então as propriedades da aditividade e homogeneidade devem ser satisfeitas, isto é, se $x_1(t) \rightarrow y_1(t)$ e $x_2(t) \rightarrow y_2(t)$, então

$$x_1(t) + x_2(t) \rightarrow y_1(t) + y_2(t) \text{ (aditividade)}$$

$$Kx_1(t) \rightarrow Ky_1(t), \text{ ou}$$

$$Kx_2(t) \rightarrow Ky_2(t) \text{ (homogeneidade).}$$

- Se o sistema é causal, $g(t - t_0) = 0 \forall t < t_0$.

Introdução

- Seja um sistema linear, causal e invariante no tempo. Este sistema pode ser descrito pela equação diferencial

$$Ly(t) = x(t) \quad (1)$$

onde L é um operador de derivadas e/ou integrais em função do tempo (por exemplo, $L = y(t)'' + a_1 y'(t) + a_2 y(t)$) e $x(t)$ é a entrada. Se um impulso for aplicado a entrada em um instante τ , então (1) torna-se

$$Lg(t - \tau) = \delta(t - \tau) \quad (2)$$

Multiplicando-se ambos lados por $x(\tau)$ e integrando sobre τ , tem-se

$$L \int_{-\infty}^{\infty} g(t - \tau)x(\tau)d\tau = \int_{-\infty}^{\infty} \delta(t - \tau)x(\tau)d\tau = x(t)$$

por causa da propriedade da amostragem. Comparando com (1) mostra-se que

$$y(t) = \int_{-\infty}^{\infty} g(t - \tau)x(\tau)d\tau \quad (3)$$

Introdução

- Em um sistema relaxado, seu estado em $t \leq t_0$ é nulo, ou seja, as condições iniciais são nulas e a saída depende unicamente da entrada $x(\tau)$ para $\tau \geq t_0$. Se o sistema é relaxado, a saída é dada pela equação da convolução (3). Se o sistema é causal, $g(t - \tau) = 0 \forall \tau > t$ e daí

$$y(t) = \int_{t_0}^t g(t - \tau)x(\tau)d\tau \quad (4)$$

- Sistemas MIMO (múltiplas entradas e múltiplas saídas)
A resposta de um sistema linear com p terminais de entrada e q terminais de saída é.

$$\mathbf{y}(t) = \int_{t_0}^t \mathbf{G}(t - \tau)\mathbf{x}(\tau)d\tau$$

onde \mathbf{y} é um vetor $q \times 1$, \mathbf{x} é um vetor de entradas $p \times 1$ e \mathbf{G} é a matriz de resposta ao impulso $q \times p$, ou seja

$$\mathbf{G}(t - \tau) = \begin{bmatrix} g_{11}(t - \tau) & g_{12}(t - \tau) & \cdots & g_{1p}(t - \tau) \\ \vdots & \vdots & \ddots & \vdots \\ g_{q1}(t - \tau) & g_{q2}(t - \tau) & \cdots & g_{qp}(t - \tau) \end{bmatrix}$$

onde $g_{ij}(t - \tau)$ é a resposta no tempo t no i -ésimo terminal de saída devido à um impulso aplicado no instante τ no j -ésimo terminal entrada, todas as outras entradas sendo nulas.

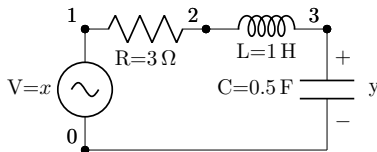
- Equações de Espaço de Estados

Todo sistema linear invariante no tempo com parâmetros concentrados pode ser descrito por um conjunto de equações da forma abaixo:

$$\begin{aligned}\dot{\mathbf{x}}(t) &= \mathbf{A}\mathbf{x}(t) + \mathbf{B}\mathbf{u}(t) \\ \mathbf{y}(t) &= \mathbf{C}\mathbf{x}(t) + \mathbf{D}\mathbf{u}(t)\end{aligned}\tag{5}$$

onde $\dot{\mathbf{x}}(t) = \frac{d\mathbf{x}(t)}{dt}$, sendo $\mathbf{x}(t)$ o vetor de n variáveis de estado e $\mathbf{u}(t)$ o vetor de entradas. Para um sistema com p entradas e q saídas (vetor $\mathbf{y}(t)$), $\mathbf{A}, \mathbf{B}, \mathbf{C}, \mathbf{D}$ são respectivamente matrizes constantes (sistemas invariantes no tempo) $n \times n, n \times p, q \times n$ e $q \times p$.

Exemplo 1.1:



O comportamento do circuito exposto acima pode ser determinado unicamente se são conhecidas a corrente inicial no indutor e a tensão inicial no capacitor. Essas são as variáveis de estado do sistema.

Para $x(t) = 10e^{-kt}u(t)$ e valores iniciais $i_L(0^-) = 0$ e $v_C(0^-) = 5$, pode-se escrever a equação de malha no instante $t = 0^-$

$$i'(0^-) + 3i(0^-) + v_C(0^-) = 0$$

Como nem a tensão no capacitor nem a corrente no indutor podem variar instantaneamente, ou seja, $i(0) = i_L(0^-) = 0$ e $v_C(0) = v_C(0^-) = 5$, de $i'(0) + 3 \cdot 0 + 5 = 0$ obtêm-se as condições iniciais $i(0) = 0$ e $i'(0) = -5$.

Transformada de Laplace - Revisão

- Transformada de Fourier

$$V(\omega) = \int_{-\infty}^{\infty} v(t)e^{-j\omega t} dt \quad (6)$$

- Transformada Inversa de Fourier

$$v(t) = \frac{1}{2\pi} \int_{-\infty}^{\infty} V(\omega)e^{j\omega t} d\omega$$

- $s = \sigma + j\omega$ é a frequência complexa, onde σ representa o decaimento ou crescimento exponencial de uma função. Define-se então uma nova função $f(t) = e^{-\sigma t}v(t)$. Substituindo $f(t)$ em (6) dá

$$F(\omega) = \int_{-\infty}^{\infty} v(t)e^{-\sigma t}e^{-j\omega t} dt = \int_{-\infty}^{\infty} v(t)e^{-st} dt = V(s)$$

- Por outro lado, fazendo a transformação inversa fornece

$$f(t) = \frac{1}{2\pi} \int_{-\infty}^{\infty} F(\omega)e^{j\omega t} d\omega \rightarrow v(t) = e^{\sigma t} f(t) = \frac{1}{2\pi} \int_{-\infty}^{\infty} V(s)e^{st} d\omega$$

Transformada de Laplace - Revisão

Como $ds = j d\omega$, a última equação fica

$$v(t) = \frac{1}{j2\pi} \int_{\sigma-j\infty}^{\sigma+j\infty} V(s) e^{st} ds$$

Portanto, o par de transformadas unilaterais ($t \geq 0$) direta e inversa de Laplace é:

$$\begin{aligned} \mathcal{L} \{v(t)\} &= V(s) = \int_0^{\infty} v(t) e^{-st} dt \\ \mathcal{L}^{-1} \{V(s)\} &= v(t) = \frac{1}{2\pi j} \int_{\sigma-j\infty}^{\sigma+j\infty} e^{st} ds \end{aligned} \tag{7}$$

Transformada de Laplace-Revisão

- Propriedades e Transformadas de Algumas Funções Básicas

- 1 Degrau $u(t)$

$$\mathcal{L}\{u(t)\} = \int_0^{\infty} e^{-st} u(t) dt = \int_0^{\infty} e^{-st} dt = -\frac{1}{s} e^{-st} \Big|_0^{\infty} = \frac{1}{s}$$

O par de Transformadas de Laplace é portanto

$$u(t) \iff \frac{1}{s}$$

- 2 Impulso $\delta(t)$

$$\mathcal{L}\{\delta(t)\} = \int_0^{\infty} e^{-st} \delta(t - t_0) dt = e^{-st_0}$$

$$\delta(t) \iff e^{-st_0}$$

Transformada de Laplace-Revisão

Observação: note que para $t_0 = 0$ o par de transformadas fica $\delta(t) \Leftrightarrow 1$.

3 Função exponencial $e^{-\alpha t}$

$$\begin{aligned}\mathcal{L}\{e^{-\alpha t}u(t)\} &= \int_0^{\infty} e^{-\alpha t} e^{-st} dt = \int_0^{\infty} e^{-(s+\alpha)t} dt \\ &= -\frac{1}{s+\alpha} e^{-(s+\alpha)t} \Big|_0^{\infty} = \frac{1}{s+\alpha} \\ e^{-\alpha t}u(t) &\Longleftrightarrow \frac{1}{s+\alpha}\end{aligned}$$

4 Derivada de uma função $v(t)$

$$\begin{aligned}\mathcal{L}\left\{\frac{dv}{dt}\right\} &= \int_0^{\infty} s^{-st} \frac{dv}{dt} dt = sV(s) - v(0) \\ \mathcal{L}\left\{\frac{dv}{dt}\right\} &\Longleftrightarrow sV(s) - v(0)\end{aligned}$$

Transformada de Laplace-Revisão

$$\mathcal{L} \left\{ \frac{d^2 v}{dt^2} \right\} \Longleftrightarrow s^2 V(s) - s v(0) - v'(0)$$

$$\mathcal{L} \left\{ \frac{d^3 v}{dt^3} \right\} \Longleftrightarrow s^3 V(s) - s^2 v(0) - s v'(0) - v''(0)$$

5 Integral de uma função $v(t)$

$$\mathcal{L} \left\{ \int_0^t v(x) dx \right\} = \int_0^\infty s^{-st} \left[\int_0^t v(x) dx \right] dt = \frac{V(s)}{s}$$

$$\mathcal{L} \left\{ \int_0^t v(x) dx \right\} \Longleftrightarrow \frac{V(s)}{s}$$

Transformada de Laplace-Revisão

- Função de transferência para o exemplo 1.1 supondo que o circuito está relaxado ($y(0) = y'(0) = 0$).

$$Ri + L \frac{di}{dt} + y(t) = x(t)$$

Usando a transformada da derivada e considerando que

$$i(t) = C \frac{dy}{dt} \iff I(s) = CsY(s)$$

$$RCsY(s) + LCs^2Y(s) + Y(s) = X(s)$$

A função de transferência é a razão entre a saída e a entrada, portanto

$$\hat{g}(s) = \frac{Y(s)}{X(s)} = \frac{1}{RCs + LCs^2 + 1}.$$

Substituindo os parâmetros usados no exemplo, tem-se então

$$\hat{g}(s) = \frac{1}{1/2s^2 + 3/2s + 1} = \frac{2}{s^2 + 3s + 2} = \frac{2}{(s+1)(s+2)}.$$

onde -1 e -2 são as raízes do polinômio característico no denominador de $g(s)$.

Transformada de Laplace-Revisão

No caso geral, $\hat{g}(s) = \frac{p(s)}{q(s)}$ onde $p(s)$ é um polinômio em s de grau M e $q(s)$ é o polinômio característico de grau N . As raízes de $p(s)$ e $q(s)$ são respectivamente os zeros e os polos da função de transferência. Em relação à M e N , $\hat{g}(s)$ pode ser classificada como

- $N \geq M \rightarrow \hat{g}(s)$ é própria
- $N > M \rightarrow \hat{g}(s)$ é estritamente própria
- $N < M \rightarrow \hat{g}(s)$ é imprópria
- $N = M \rightarrow \hat{g}(s)$ é biprópria

Se $\hat{g}(s)$ é própria e os polos são distintos, então $g(s)$ pode ser escrita como

$$\hat{g}(s) = \frac{A_1}{s - s_1} + \frac{A_2}{s - s_2} + \dots + \frac{A_N}{s - s_N}$$

No exemplo 1.1, tem-se portanto $\hat{g}(s) = \frac{2}{(s+1)(s+2)} = \frac{A_1}{s+1} + \frac{A_2}{s+2}$ de onde $A_1 = 2$ e $A_2 = -2$ e $\hat{g}(s) = \frac{2}{s+1} - \frac{2}{s+2}$

Transformada de Laplace-Revisão

Tomando as transformadas inversas conhecidas, tem-se finalmente a resposta ao impulso para o circuito

$$g(t) = \left(2e^{-t} - 2e^{-2t}\right) u(t)$$

- Equações de Espaço de Estados & Função de Transferência
As equações de espaço de estados (5) são repetidas abaixo

$$\dot{\mathbf{x}}(t) = \mathbf{A}\mathbf{x}(t) + \mathbf{B}\mathbf{u}(t)$$

$$\mathbf{y}(t) = \mathbf{C}\mathbf{x}(t) + \mathbf{D}\mathbf{u}(t)$$

A primeira equação é uma equação diferencial vetorial de primeira ordem. Escrevendo a transformada de Laplace, tem-se

$$s\hat{\mathbf{x}}(s) - \mathbf{x}(0) = \mathbf{A}\hat{\mathbf{x}}(s) + \mathbf{B}\hat{\mathbf{u}}(s)$$

$$[s\mathbf{I} - \mathbf{A}] \hat{\mathbf{x}}(s) = \mathbf{x}(0) + \mathbf{B}\hat{\mathbf{u}}(s)$$

$$\hat{\mathbf{x}}(s) = [s\mathbf{I} - \mathbf{A}]^{-1} \mathbf{x}(0) + [s\mathbf{I} - \mathbf{A}]^{-1} \mathbf{B}\hat{\mathbf{u}}(s)$$

onde \mathbf{I} é a matriz identidade $n \times n$.

Transformada de Laplace-Revisão

Substituindo na segunda equação do par (5)

$$\hat{\mathbf{y}}(s) = \underbrace{\mathbf{C} [s\mathbf{I} - \mathbf{A}]^{-1} \mathbf{x}(0)}_{\text{resposta de entrada nula}} + \underbrace{\mathbf{C} [s\mathbf{I} - \mathbf{A}]^{-1} \mathbf{B}\hat{\mathbf{u}}(s) + \mathbf{D}\hat{\mathbf{u}}(s)}_{\text{resposta de estado nulo}}$$

A resposta de um sistema linear invariante no tempo pode ser decomposta em uma resposta de entrada nula (devido somente às condições iniciais) e uma resposta de estado nulo (devido somente à entrada externa)!

Se as condições iniciais são nulas, então

$$\hat{\mathbf{g}}(s) = \mathbf{C} [s\mathbf{I} - \mathbf{A}]^{-1} \mathbf{B} + \mathbf{D}$$

Teorema da Convolução

A transformada de Laplace da saída $y(t)$ de uma sistema linear é dada pela transformada direta em (7). Substituindo $y(t)$ pela integral da convolução,

$$\hat{y}(s) = \int_0^{\infty} \left\{ \int_0^{\infty} g(t - \tau) u(\tau) d\tau \right\} e^{-st} dt$$

onde o limite superior da integral interna foi estendido ao infinito.

$$\hat{y}(s) = \int_0^{\infty} \left\{ \int_0^{\infty} g(t - \tau) u(\tau) d\tau \right\} e^{-st} e^{s\tau} e^{-s\tau} dt$$

$$\hat{y}(s) = \int_0^{\infty} \left\{ \int_0^{\infty} g(t - \tau) u(\tau) d\tau \right\} e^{-s(t-\tau)} e^{-s\tau} dt$$

jogando o termo $e^{-s(t-\tau)}$ para dentro da integral interna e levando $u(\tau)$ para a externa, resulta em

$$\hat{y}(s) = \int_0^{\infty} \left\{ \int_0^{\infty} g(t - \tau) e^{-s(t-\tau)} dt \right\} u(\tau) e^{-s\tau} d\tau$$

Teorema da Convolução

Fazendo a substituição de variáveis $t' = t - \tau$, $dt' = d\tau$

$$\hat{y}(s) = \int_0^\infty \left\{ \int_{-\tau}^\infty g(t') e^{-st'} dt' \right\} u(\tau) e^{-s\tau} d\tau$$

Pela causalidade, $\tau \leq t$ e portanto $t' = t - \tau \geq 0$, logo

$$\hat{y}(s) = \int_0^\infty \left\{ \int_0^\infty g(t') e^{-st'} dt' \right\} u(\tau) e^{-s\tau} d\tau = \hat{g}(s) \int_0^\infty u(\tau) e^{-s\tau} d\tau.$$

Finalmente

$$\hat{y}(s) = \hat{g}(s) \hat{u}(s)$$

Exemplo 1.2 - Sistema massa-mola

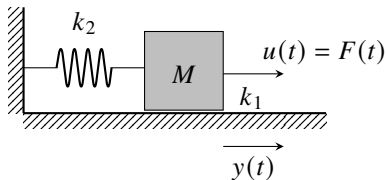


Figura: Sistema massa-mola

A figura acima mostra um sistema mecânico no qual uma massa M é ligada à uma parede vertical através de uma mola com constante k_2 . O bloco de massa M escorrega sobre o plano inferior com um coeficiente de amortecimento k_1 .

A força aplicada $u(t)$ tem que vencer a fricção ($k_1 dy/dt$) e a força de restauro da mola ($k_2 y$). A aplicação da segunda lei de Newton fornecerá a equação que descreve o sistema (inicialmente relaxado):

$$u - k_1 \frac{dy(t)}{dt} - k_2 y(t) = M \frac{d^2 y(t)}{dt^2}$$

Fazendo a transformada de Laplace da última equação, tem-se

$$Ms^2\hat{y}(s) = \hat{u}(s) - k_1s\hat{y}(s) - k_2\hat{y}(s)$$

ou ainda

$$[Ms^2 + k_1s + k_2] \hat{y}(s) = \hat{u}(s).$$

Portanto, pode-se escrever a função de transferência

$$\hat{g}(s) = \frac{1}{Ms^2 + k_1s + k_2} \quad (8)$$

Com os valores $M = 1, k_1 = 3$ e $k_2 = 2$, (8) fica

$$\hat{g}(s) = \frac{1}{s^2 + 3s + 2} = \frac{1}{(s+1)(s+2)} = \frac{1}{s+1} - \frac{1}{s+2}$$

Assim, tomando a transformada inversa,

$$g(y) = \mathcal{L}^{-1} \{ \hat{g}(s) \} = e^{-t} - e^{-2t}$$

$$y(t) = \int_0^t \left(e^{-(t-\tau)} - e^{-2(t-\tau)} \right) u(\tau) d\tau$$

Sistemas Mecânicos

Usando-se variáveis de estado, pode-se escolher $x_1 = y$ e $x_2 = \dot{y} = \dot{x}_1$ e assim, escrever o vetor de derivadas das variáveis de estado x_1 e x_2 , ou seja

$$\begin{aligned}\dot{x}_1 &= x_2 \\ M\dot{x}_2 &= u - k_1x_2 - k_2x_1\end{aligned}$$

Pondo em uma expressão matricial, tem-se

$$\begin{bmatrix} \dot{x}_1(t) \\ \dot{x}_2(t) \end{bmatrix} = \begin{bmatrix} 0 & 1 \\ -k_2/M & -k_1/M \end{bmatrix} \begin{bmatrix} x_1 \\ x_2 \end{bmatrix} + \begin{bmatrix} 0 \\ 1/M \end{bmatrix} u(t)$$
$$y(t) = \begin{bmatrix} 1 & 0 \end{bmatrix} \begin{bmatrix} x_1 \\ x_2 \end{bmatrix}$$

Portanto,

$$\mathbf{A} = \begin{bmatrix} 0 & 1 \\ -k_2/M & -k_1/M \end{bmatrix}, \mathbf{B} = \begin{bmatrix} 0 \\ 1/M \end{bmatrix}, \mathbf{C} = \begin{bmatrix} 1 & 0 \end{bmatrix}, \text{ e } d = 0.$$

com os valores usados anteriormente,

$$\mathbf{A} = \begin{bmatrix} 0 & 1 \\ 2 & -3 \end{bmatrix}, \mathbf{B} = \begin{bmatrix} 0 \\ 1 \end{bmatrix}, \mathbf{C} = \begin{bmatrix} 1 & 0 \end{bmatrix}, \text{ e } d = 0.$$

As equações de estado poderiam ter sido obtidas primeiramente, e a função de transferência extraída como no *script* mostrado abaixo.

```
In [19]: a=[[0,1],[-2,-3]]
```

```
In [20]: b=[[0],[1]]
```

```
In [21]: c=[1,0]
```

```
In [22]: d=0
```

```
In [23]: sys=ss(a,b,c,d)
```

```
In [24]: ss2tf(sys)
```

```
Out[24]:
```

$$\frac{8.882 \times 10^{-16}s + 1}{s^2 + 3s + 2}$$

```
In [25]:
```

Figura: *script* Control/Python para obtenção de $\hat{g}(s)$

Exemplo 1.3 - Outro sistema massa-mola

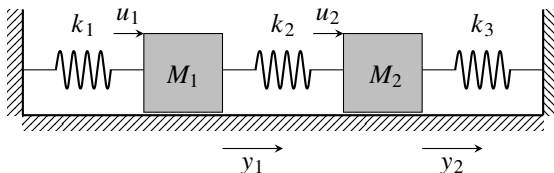


Figura: Sistema massa-mola

Neste exemplo, os coeficientes de amortecimento são nulos. As únicas forças de reação são as forças de restauração das molas. Neste sistema existem duas entradas, as forças u_1 e u_2 , e duas saídas, os deslocamentos y_1 e y_2 . Assim, o sistema é descrito pelo par de equações abaixo

$$\begin{aligned} M_1 \frac{d^2 y_1}{dt^2} &= u_1 - k_1 y_1 - k_2 (y_1 - y_2) \\ M_2 \frac{d^2 y_2}{dt^2} &= u_2 - k_2 (y_2 - y_1) - k_3 y_2 \end{aligned} \quad (9)$$

As equações acima podem ser re-escritas recombinando os termos

$$M_1 \frac{d^2 y_1}{dt^2} = u_1 - (k_1 + k_2) y_1 + k_2 y_2$$

$$M_2 \frac{d^2 y_2}{dt^2} = u_2 + k_2 y_1 - (k_2 + k_3) y_2$$

definindo as variáveis de estado

$$x_1 := y_1, \quad x_2 := \dot{y}_1, \quad x_3 := y_2, \quad x_4 := \dot{y}_2$$

Se pode escrever agora

$$\dot{x}_1 = \dot{y}_1 = x_2$$

$$\dot{x}_2 = \ddot{y}_1 = -\frac{(k_1 + k_2)}{M_1} x_1 + \frac{k_2}{M_1} x_3 + \frac{u_1}{M_1}$$

$$\dot{x}_3 = \dot{y}_2 = x_4$$

$$\dot{x}_4 = \ddot{y}_2 = \frac{k_2}{M_2} x_1 - \frac{(k_2 + k_3)}{M_2} x_3 + \frac{u_2}{M_2}$$

ou na forma matricial

$$\begin{bmatrix} \dot{x}_1 \\ \dot{x}_2 \\ \dot{x}_3 \\ \dot{x}_4 \end{bmatrix} = \begin{bmatrix} 0 & 1 & 0 & 0 \\ \frac{-(k_1+k_2)}{M_1} & 0 & \frac{k_2}{M_1} & 0 \\ 0 & 0 & 0 & 1 \\ \frac{k_2}{M_2} & 0 & \frac{-(k_2+k_3)}{M_2} & 0 \end{bmatrix} \begin{bmatrix} x_1 \\ x_2 \\ x_3 \\ x_4 \end{bmatrix} + \begin{bmatrix} 0 & 0 \\ \frac{1}{M_1} & 0 \\ 0 & 0 \\ 0 & \frac{1}{M_2} \end{bmatrix} \begin{bmatrix} u_1 \\ u_2 \end{bmatrix}$$
$$\begin{bmatrix} y_1 \\ y_2 \end{bmatrix} = \begin{bmatrix} 1 & 0 & 0 & 0 \\ 0 & 0 & 1 & 0 \end{bmatrix} \begin{bmatrix} x_1 \\ x_2 \\ x_3 \\ x_4 \end{bmatrix}$$

Para obter uma descrição entrada-saída, aplica-se a transformada de Laplace à (9) com condições iniciais nulas,

$$M_1 s^2 \hat{y}_1(s) + (k_1 + k_2) \hat{y}_1(s) - k_2 \hat{y}_2(s) = \hat{u}_1(s)$$

$$M_2 s^2 \hat{y}_2(s) - k_2 \hat{y}_1(s) + (k_2 + k_3) \hat{y}_2(s) = \hat{u}_2(s)$$

Destas equações pode se escrever

$$\begin{bmatrix} M_1 s^2 & 0 \\ 0 & M_2 s^2 \end{bmatrix} \begin{bmatrix} \hat{y}_1(s) \\ \hat{y}_2(s) \end{bmatrix} + \begin{bmatrix} (k_1 + k_2) & -k_2 \\ -k_2 & (k_2 + k_3) \end{bmatrix} \begin{bmatrix} \hat{y}_1(s) \\ \hat{y}_2(s) \end{bmatrix} = \begin{bmatrix} \hat{u}_1(s) \\ \hat{u}_2(s) \end{bmatrix}$$

$$\begin{bmatrix} M_1 s^2 + k_1 + k_2 & -k_2 \\ -k_2 & M_2 s^2 + k_2 + k_3 \end{bmatrix} \begin{bmatrix} \hat{y}_1(s) \\ \hat{y}_2(s) \end{bmatrix} = \begin{bmatrix} \hat{u}_1(s) \\ \hat{u}_2(s) \end{bmatrix}$$

O determinante Δ da primeira matriz do lado esquerdo é $(M_1 s^2 + k_1 + k_2)(M_2 s^2 + k_2 + k_3) - k_2^2$. Daí tem-se que

$$\begin{bmatrix} \hat{y}_1(s) \\ \hat{y}_2(s) \end{bmatrix} = \frac{1}{\Delta} \begin{bmatrix} M_2 s^2 + k_2 + k_3 & k_2 \\ k_2 & M_1 s^2 + k_1 + k_2 \end{bmatrix} \begin{bmatrix} \hat{u}_1(s) \\ \hat{u}_2(s) \end{bmatrix}$$

Exemplo 1.4: Carro com pêndulo invertido

O carro mostrado na figura abaixo leva um pêndulo invertido de comprimento l que sustenta uma massa m na sua extremidade superior. Essa massa ao descer aplica uma força H sobre o pêndulo, o qual transmite ao carro, contrária à entrada u . As leis de Newton devem ser aplicadas ao movimento linear e ao movimento rotacional do pêndulo entorno da dobradiça.

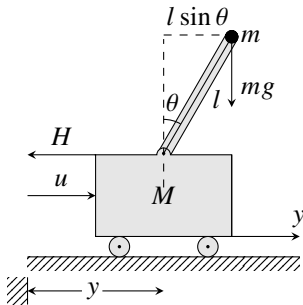


Figura: Carro com pêndulo invertido

A equação de Newton para o movimento linear é

$$M\ddot{y} = u - H$$

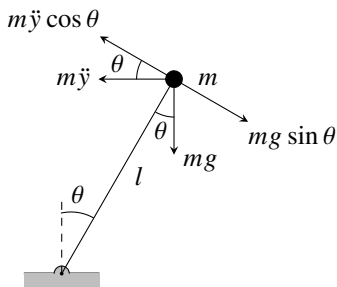
onde

$$H = m \frac{d^2 (y + l \sin \theta)}{dt^2} = m\ddot{y} + ml \frac{d(\cos \theta \dot{\theta})}{dt} = m\ddot{y} - ml \sin \theta \dot{\theta}^2 + ml \cos \theta \ddot{\theta}.$$

Para o movimento rotacional usa-se a equação do torque T em função da força f_t tangencial à trajetória circular percorrida pela massa m (ver figura na próxima página),

$$T = l f_t = l (m\dot{v}) = ml \frac{d(l\omega)}{dt} = ml^2 \dot{\omega} = ml^2 \ddot{\theta} = mgl \sin \theta - m\ddot{y}l \cos \theta$$

onde v é a velocidade linear da massa m e a última igualdade se deve ao balanço de forças tangenciais sobre a massa como mostrado na próxima figura.



As equações acima são não lineares, mas para que o equilíbrio do pêndulo seja mantido é necessário que $\theta \ll 1$, de modo que $\theta^2 \approx \dot{\theta}\theta \approx \ddot{\theta}\theta \approx \dot{\theta}^2 \approx 0$, $\sin \theta \approx \theta$ e $\cos \theta \approx 1$. Substituindo nas equações de H e T resulta em

$$M\ddot{y} = u - H$$

$$H \approx m\ddot{y} + ml\ddot{\theta}$$

$$u - m\ddot{y} - ml\ddot{\theta} = M\ddot{y}$$

$$(M + m)\ddot{y} = u - ml\ddot{\theta} \quad (10)$$

$$\begin{aligned}T &= ml^2\ddot{\theta} \approx mgl\theta - m\ddot{y}l \\ l\ddot{\theta} &= g\theta - \ddot{y}\end{aligned}\tag{11}$$

De (10) e (11),

$$\begin{aligned}(M + m)(g\theta - l\ddot{\theta}) &= u - ml\ddot{\theta} \\ Mg\theta - Ml\ddot{\theta} + mg\theta &= u \\ Ml\ddot{\theta} &= (M + m)g\theta - u\end{aligned}\tag{12}$$

substituindo em (11) em (10), $(M + m)\ddot{y} = u - m(g\theta - \ddot{y})$, e

$$M\ddot{y} = u - mg\theta\tag{13}$$

A relação entrada-saída é obtida através da aplicação da transformada de Laplace às equações (12) e (13)

$$Mls^2\hat{\theta}(s) = (M + m)g\hat{\theta}(s) - \hat{u}(s)\tag{14}$$

$$Ms^2\hat{y}(s) = \hat{u}(s) - mg\hat{\theta}(s)\tag{15}$$

De (14), $\hat{\theta}(s) [(M + m)g - Mls^2] = \hat{u}(s)$, e então

$$\hat{\theta}(s) = \frac{\hat{u}(s)}{(M + m)g - Mls^2}$$

a função de transferência relacionando a entrada u e a saída θ é

$$\hat{g}_{\theta u}(s) = \frac{-1}{Mls^2 - (M + m)g}$$

Por outro lado, substituindo $\hat{\theta}(s)$ em (15)

$$Ms^2\hat{y}(s) = \hat{u}(s) + \frac{mg}{Mls^2 - (M + m)g}\hat{u}(s) = \frac{ls^2 - g}{s^2 [Mls^2 - (M + m)g]}\hat{u}(s)$$

a função de transferência relacionando u e y é

$$\hat{g}_{yu}(s) = \frac{ls^2 - g}{s^2 [Mls^2 - (M + m)g]}$$

Sistemas Mecânicos

Para desenvolver as equações de estado, escolhe-se as variáveis como

$$x_1 = y, \quad x_2 = \dot{y} = \dot{x}_1, \quad x_3 = \theta, \quad x_4 = \dot{\theta} = \dot{x}_3$$

Com esta seleção de variáveis e das equações (12) e (13) se pode obter

$$\dot{x}_1 = x_2$$

$$\dot{x}_2 = \ddot{y} = \frac{-mg}{M}x_3 + \frac{1}{M}u$$

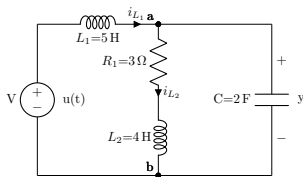
$$\dot{x}_3 = x_4$$

$$\dot{x}_4 = \ddot{\theta} = \frac{(M+m)g}{Ml}x_3 - \frac{1}{Ml}u$$

ou ainda,

$$\begin{bmatrix} \dot{x}_1 \\ \dot{x}_2 \\ \dot{x}_3 \\ \dot{x}_4 \end{bmatrix} = \begin{bmatrix} 0 & 1 & 0 & 0 \\ 0 & 0 & \frac{-mg}{M} & 0 \\ 0 & 0 & 0 & 1 \\ 0 & 0 & \frac{(M+m)g}{Ml} & 0 \end{bmatrix} \begin{bmatrix} x_1 \\ x_2 \\ x_3 \\ x_4 \end{bmatrix} + \begin{bmatrix} 0 \\ \frac{1}{M} \\ 0 \\ \frac{-1}{Ml} \end{bmatrix} u$$
$$\begin{bmatrix} y \\ \theta \end{bmatrix} = \begin{bmatrix} 1 & 0 & 0 & 0 \\ 0 & 0 & 1 & 0 \end{bmatrix} \mathbf{x}$$

Exemplo 1.5- Circuito RLC



Escolhe-se como variáveis de estado as correntes nos dois indutores e a tensão no capacitor, ou seja, as variáveis dos elementos armazenadores de energia do circuito, $x_1 = i_{L_1}$, $x_2 = i_{L_2}$, $x_3 = v_c$, e com estas escolhas pode-se escrever as derivadas das variáveis com as leis de tensão no indutor e corrente no capacitor, isto é

$$v_{L_1} = L_1 \frac{di_{L_1}}{dt} = L_1 \dot{x}_1 = 5\dot{x}_1$$

$$v_{L_2} = L_2 \frac{di_{L_2}}{dt} = L_2 \dot{x}_2 = 4\dot{x}_2$$

$$i_c = C \frac{dv_c}{dt} = C\dot{x}_3 = 2\dot{x}_3$$

Análise de Circuitos RLC

Aplicando a lei das tensões de Kirchhoff à malha externa permite encontrar a equação para \dot{x}_1 .

$$-u + v_{L_1} + v_c = 0 \rightarrow -u + 5\dot{x}_1 + x_3 = 0 \rightarrow \dot{x}_1 = -\frac{1}{5}x_3 + \frac{1}{5}u$$

Procedendo analogamente para a segunda malha interna,

$$-4\dot{x}_2 - 3x_2 + x_3 = 0 \rightarrow \dot{x}_2 = -\frac{3}{4}x_3 + \frac{1}{4}x_2.$$

Finalmente, aplicando a lei das correntes ao nó a permite escrever a equação para \dot{x}_3 .

$$x_1 - x_2 = 2\dot{x}_3 \rightarrow \dot{x}_3 = \frac{1}{2}x_1 - \frac{1}{2}x_2$$

Além disso, $y = x_3$.

$$\begin{bmatrix} \dot{x}_1 \\ \dot{x}_2 \\ \dot{x}_3 \end{bmatrix} = \begin{bmatrix} 0 & 0 & -1/5 \\ 0 & -3/4 & 1/4 \\ 1/2 & -1/2 & 0 \end{bmatrix} \begin{bmatrix} x_1 \\ x_2 \\ x_3 \end{bmatrix} + \begin{bmatrix} 1/5 \\ 0 \\ 0 \end{bmatrix} u$$
$$y = \begin{bmatrix} 0 & 0 & 1 \end{bmatrix} \mathbf{x}$$

Análise de Circuitos RLC

A função de transferência do circuito pode ser obtida calculando-se inicialmente a impedância entre os nós a e b $Z_{ab}(s)$.

$$Z_{ab}(s) = \frac{(3 + 4s)^{1/2s}}{3 + 4s + 1/2s} = \frac{3 + 4s}{8s^2 + 6s + 1}$$

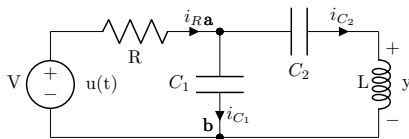
A tensão no capacitor $\hat{y}(s)$ é calculada com o divisor de tensão sobre a impedância $Z_{ab}(s)$

$$\hat{y}(s) = \frac{Z_{ab}(s)}{Z_{ab}(s) + 5s} \hat{u}(s) = \frac{3 + 4s}{40s^3 + 30s^2 + 9s + 3} \hat{u}(s)$$

onde a função de transferência $\hat{g}(s) = \frac{3+4s}{40s^3+30s^2+9s+3}$ pode alternativamente ser obtida de $\hat{g}(s) = \mathbf{C} [s\mathbf{I} - \mathbf{A}]^{-1} \mathbf{B} + \mathbf{D}$, ou seja

$$\hat{g}(s) = \begin{bmatrix} 0 & 0 & 1 \end{bmatrix} \begin{bmatrix} s & 0 & 1/5 \\ 0 & s+4 & -1/4 \\ -1/2 & 1/2 & s \end{bmatrix}^{-1} \begin{bmatrix} 1/5 \\ 0 \\ 0 \end{bmatrix} = \frac{3 + 4s}{40s^3 + 30s^2 + 9s + 3}$$

Exemplo 1.6- Outro Circuito RLC



As variáveis de estado são $x_1 = v_{C_1}$, $x_2 = v_{C_2}$ e $x_3 = i_{C_2} = C_2 \dot{x}_2$. Logo $\dot{x}_2 = 1/C_2 x_3$. Também $i_{C_1} = C_1 \dot{x}_1$. Aplicando a LTK à segunda malha interna tem-se que $-x_1 + x_2 + y = 0 \rightarrow y = -x_2 + x_1$, e combinando com o fato que $y = L \dot{x}_3$,

$$-x_1 + x_2 + L \dot{x}_3 = 0 \rightarrow \dot{x}_3 = \frac{1}{L} x_1 - \frac{1}{L} x_2.$$

A LTK aplicada à primeira malha interna fornece

$-u + Ri_R + x_1 = 0 \rightarrow i_R = (u - x_1)/R$. Combinando com a LCK no nó a tem-se finalmente

$$i_R = \frac{u - x_1}{R} = C_1 \dot{x}_1 + x_3 \rightarrow \dot{x}_1 = -\frac{1}{RC_1} x_1 - \frac{1}{C_1} x_3 + \frac{1}{RC_1} u$$

$$\begin{bmatrix} \dot{x}_1 \\ \dot{x}_2 \\ \dot{x}_3 \end{bmatrix} = \begin{bmatrix} -1/RC_1 & 0 & -1/C_1 \\ 0 & 0 & 1/C_2 \\ 1/L & -1/L & 0 \end{bmatrix} \begin{bmatrix} x_1 \\ x_2 \\ x_3 \end{bmatrix} + \begin{bmatrix} 1/RC_1 \\ 0 \\ 0 \end{bmatrix} u$$

$$y = \begin{bmatrix} 1 & -1 & 0 \end{bmatrix} \begin{bmatrix} x_1 \\ x_2 \\ x_3 \end{bmatrix}$$

Referências



Chi-Tsong Chen. *Linear System Theory and Design*. Oxford University Press, Fourth Edition, 2013.



B.P. Lathi. *Sinais e Sistemas Lineares*. ARTMED editora, segunda edição, 2004.